

УДК 532.526

ВЛИЯНИЕ ЭФФЕКТА МАРАНГОНИ НА ВОЗНИКНОВЕНИЕ ВРАЩЕНИЯ ЖИДКОСТИ В ТЕРМОГРАВИТАЦИОННОМ ПОГРАНИЧНОМ СЛОЕ

В. А. Батищев

Южный федеральный университет, 344090 Ростов-на-Дону, Россия
E-mail: batishev-v@mail.ru

Для уравнений движения жидкости в приближении Обербека — Буссинеска, в которых вязкость и температуропроводность малы, рассчитаны стационарные осесимметричные режимы течений жидкости в термогравитационном пограничном слое вблизи свободной поверхности при неравномерном распределении температуры на этой границе. С учетом термокапиллярного эффекта показано, что в результате бифуркации при локальном охлаждении свободной поверхности в пограничном слое могут возникать режимы течений неоднородной жидкости с вращением, тогда как вне этого слоя вращение отсутствует.

Ключевые слова: свободная граница, неоднородная жидкость, пограничный слой, бифуркации, термокапиллярный эффект, вращение.

DOI: 10.15372/PMTF20200313

В однородной жидкости в случае малых диффузионных коэффициентов в окрестности свободной поверхности при воздействии на эту поверхность касательных напряжений могут формироваться тонкие пограничные слои. Эти напряжения возникают, например, при наличии градиента температуры вдоль свободной границы. В результате формируется термокапиллярное течение жидкости (эффект Марангони). В работе [1] впервые получены автомодельные решения, описывающие термокапиллярные течения однородной жидкости. Важный цикл исследований эффекта Марангони проведен В. В. Пухначевым с соавторами. Например, в работах [2, 3] исследованы свойства нестационарных и стационарных пограничных слоев Марангони.

Нелинейные пограничные слои могут формироваться в окрестности свободной границы при отсутствии поверхностных касательных напряжений на этой границе. Это явление имеет место в отсутствие эффекта Марангони в неоднородной жидкости, течение которой описывается уравнениями движения в приближении Обербека — Буссинеска. В результате влияния поля температур на поле скоростей жидкости в ней формируется термогравитационный пограничный слой вблизи свободной границы. В зависимости от значений параметров задачи эффект Марангони может оказывать малое или конечное воздействие на динамику неоднородной жидкости. Влияние эффекта Марангони на термогравитационное течение жидкости в тонком слое изучалось в работе [4]. Настоящая работа посвящена исследованию влияния эффекта Марангони на термогравитационное течение в пограничном слое вблизи свободной поверхности неоднородной жидкости, занимающей слой конечной

толщины. Определены условия, при которых вблизи свободной границы может возникать режим течения жидкости с вращением.

1. Математическая модель. В условиях осевой симметрии изучается стационарное течение неоднородной жидкости, заполняющей горизонтальный слой с конечной толщиной h , ограниченный снизу твердой стенкой, а сверху свободной границей Γ , на которой задано неравномерное распределение температуры. Течение жидкости рассчитывается на основе уравнений движения в приближении Обербека — Буссинеска

$$(\mathbf{v}, \nabla)\mathbf{v} = -\rho^{-1}\nabla p + \nu\Delta\mathbf{v} - \mathbf{g}\beta T, \quad \mathbf{v}\nabla T = \chi\Delta T, \quad \operatorname{div} \mathbf{v} = 0.$$

Здесь $\mathbf{v} = (v_r, v_\theta, v_z)$ — вектор скорости в цилиндрических координатах r, θ, z ; $\mathbf{g} = (0, 0, -g_t)$; g_t — ускорение свободного падения; β — коэффициент теплового расширения; T — температура жидкости; кинематическая вязкость ν и температуропроводность χ полагаются малыми. Условия осевой симметрии означают, что скорость, давление и температура не зависят от окружной координаты θ .

Краевые условия на свободной поверхности состоят из динамических условий для нормальных и касательных напряжений, кинематического условия и заданной температуры T_Γ :

$$p = 2\nu\rho\Pi\mathbf{n} - \sigma(k_1 + k_2) + \rho gz + p_*, \quad \mathbf{v}\mathbf{n} = 0, \quad (r, \theta, z) \in \Gamma, \\ 2\nu\rho(\Pi\mathbf{n} - (\mathbf{n}\Pi\mathbf{n})\mathbf{n}) = \nabla_\Gamma\sigma, \quad T = T_\Gamma, \quad (r, \theta, z) \in \Gamma,$$

где Π — тензор скоростей деформации; p — динамическое давление, обусловленное конвективным движением жидкости [5]; ρgz — гидростатическое давление; \mathbf{n} — единичный вектор внешней нормали к поверхности Γ ; k_1, k_2 — главные кривизны свободной поверхности; σ — коэффициент поверхностного натяжения, причем будем полагать, что этот коэффициент линейно зависит от температуры: $\sigma = \sigma_0 - |\sigma_T|(T - T_\sigma)$ ($\sigma_0, \sigma_T, T_\sigma$ — постоянные); на свободной границе давление p_* считается постоянным; ∇_Γ — градиент вдоль границы Γ . На твердой стенке выполняется условие прилипания жидкости $\mathbf{v} = \mathbf{0}$ и задается постоянная температура $T = T_S$.

Начало системы координат выбирается на свободной поверхности. Затем находится решение задачи, в котором свободная граница в главном приближении не деформируется и описывается уравнением $z = 0$. Твердая граница определяется уравнением $z = -h$. Предположим, что на границе Γ температура изменяется по закону $T_\Gamma = T_S + T_m(r^2/L^2 - 1)$ при $r \leq L$ и $T_\Gamma = T_S$ при $r > L$ ($T_m = T_\Gamma|_{r=L} - T_\Gamma|_{r=0}$ — перепад температуры на отрезке $r \in [0, L]$). Очевидно, что при $T_m > 0$, $r < L$ свободная граница в окрестности оси симметрии охлаждается, при $T_m < 0$ — нагревается.

Введем безразмерную разность температур α на поверхности Γ по формуле $\alpha = T_m/T_S$. Уравнения движения и краевые условия также приведем к безразмерному виду. В качестве масштабов длины, температуры, скорости и давления примем величины $L, T_S, U_a, \rho U_a^2$ ($U_a = \sqrt{g_t\beta L T_S}$). В предположении, что при охлаждении разность температур изменяется: $0 < T_m < T_S$, имеем $0 < \alpha < 1$. В случае если параметр $\sqrt{\alpha}$ конечен, $\sqrt{T_S}$ и $\sqrt{T_m}$ имеют одинаковый порядок и, значит, масштаб U_a имеет порядок $U_a \sim \sqrt{g_t\beta L T_m}$. Выражение для температуры на поверхности Γ представим в виде $T_\Gamma = 1 + \alpha(r^2 - 1)$ при $r \leq 1$, $T_\Gamma = 1$ при $r > 1$.

Введем безразмерный параметр $\varepsilon = \nu/(L U_a)$, который является малым при малом значении кинематической вязкости и конечных значениях параметра L . Запишем уравнения движения в безразмерной форме

$$(\mathbf{v}, \nabla)\mathbf{v} = -\nabla p + \varepsilon\Delta\mathbf{v} + T\mathbf{e}_z, \quad \mathbf{v}\nabla T = (\varepsilon/\operatorname{Pr})\Delta T, \quad \operatorname{div} \mathbf{v} = 0, \quad (1.1)$$

где \mathbf{e}_z — вектор с компонентами $(0, 0, 1)$; Pr — число Прандтля.

2. Асимптотический метод. В безразмерных переменных параметр ε находится перед старшими производными в уравнениях движения (1.1). Это означает, что в данном случае вблизи свободной границы формируется область термогравитационного пограничного слоя D_Γ . Вне этого слоя возникает внешнее течение, которое в главном приближении описывается бездиффузионными уравнениями. Рассмотрим случай, когда при $\varepsilon \rightarrow 0$ порядок компонент вектора скорости в области пограничного слоя и во внешнем потоке одинаков. Предположим, что внешнее течение не закручено, т. е. $v_\theta = 0$ вне D_Γ . Далее находим порядок вектора скорости и толщины пограничного слоя. Для этого введем преобразование растяжения $s_1 = z/\varepsilon^k$ в области D_Γ и проведем оценку порядков скорости, давления и температуры в уравнениях и краевых условиях. В результате получаем, что вектор скорости имеет порядок, равный $O(\varepsilon^{1/5})$. Температура и давление имеют конечный порядок $O(1)$. Порядок толщины пограничного слоя равен $O(\varepsilon^{2/5})$. Отклонение свободной границы от невозмущенного уровня $z = 0$ имеет порядок $O(\beta T_m \varepsilon^{2/5})$ и значительно меньше толщины пограничного слоя.

Для решения краевой задачи используем метод пограничного слоя [6]. При $\varepsilon \rightarrow 0$ асимптотические разложения полей скорости, температуры и давления строим по дробным степеням параметра ε :

$$\begin{aligned} v_r &= \varepsilon^{1/5}(v_{r1} + h_{r1}) + \dots, & v_z &= \varepsilon^{1/5}v_{z1} + \varepsilon^{3/5}(v_{z2} + h_{z2}) + \dots, \\ v_\theta &= \varepsilon^{1/5}h_{\theta1} + \varepsilon^{3/5}h_{\theta2} + \dots, & p &= p_0 + \varepsilon^{2/5}(p_1 + q_1) + \dots, \\ T &= 1 + T_1(r, s) + \varepsilon^{2/5}(T_2(r, s) + T_{1b}(r, z)) + \dots \end{aligned} \quad (2.1)$$

Функции h_{r1} , h_{z2} , $h_{\theta1}$, $h_{\theta2}$, T_1 , T_2 определены в области пограничного слоя D_Γ , зависят от растянутой переменной $s = z/\varepsilon^{2/5}$ и стремятся к нулю при выходе из области D_Γ , т. е. при $s \rightarrow -\infty$. Функция $q_1(r, s)$ определена в области D_Γ и стремится к постоянному значению на бесконечности. Функции v_{r1} , v_{z1} , v_{z2} , p_0 , p_1 , T_{1b} (внешнее решение) зависят от переменных r , z , определены во всей области течения жидкости и описывают решение задачи вне области пограничного слоя D_Γ . Условия $h_{\theta0} \rightarrow 0$, $h_{\theta1} \rightarrow 0$ при $s \rightarrow -\infty$ означают, что вращение жидкости в пограничном слое не вызывает вращения вне области D_Γ .

Подставим асимптотические ряды (2.1) в систему уравнений движения (1.1) и краевые условия и приравняем к нулю сумму коэффициентов при одинаковых степенях ε . Введем функции H_r , H_z по формулам $H_r = h_{r1} + v_{r1}|_\Gamma$, $H_z = h_{z2} + v_{z2}|_\Gamma + s \partial v_{z1}/\partial z|_\Gamma$. В главном приближении получаем систему уравнений пограничного слоя для расчета термогравитационного течения жидкости в области D_Γ :

$$\begin{aligned} H_r \frac{\partial H_r}{\partial r} + H_z \frac{\partial H_r}{\partial s} - \frac{h_{\theta1}^2}{r} &= -\frac{\partial q_1}{\partial r} + \frac{\partial^2 H_r}{\partial s^2} + v_{r1} \frac{\partial v_{r1}}{\partial r} \Big|_\Gamma, \\ H_r \frac{\partial h_{\theta1}}{\partial r} + H_z \frac{\partial h_{\theta1}}{\partial s} + \frac{H_r h_{\theta1}}{r} &= \frac{\partial^2 h_{\theta1}}{\partial s^2}, & -\frac{\partial q_1}{\partial s} + T_1 &= 0, \\ H_r \frac{\partial T_1}{\partial r} + H_z \frac{\partial T_1}{\partial s} &= \frac{1}{\text{Pr}} \frac{\partial^2 T_1}{\partial s^2}, & \frac{\partial H_r}{\partial r} + \frac{H_r}{r} + \frac{\partial H_z}{\partial s} &= 0. \end{aligned} \quad (2.2)$$

Краевые условия на свободной границе и условия при выходе из области D_Γ имеют вид

$$\begin{aligned} H_z = 0, & \quad \frac{\partial H_r}{\partial s} = -\gamma \tau r, & \quad \frac{\partial h_{\theta1}}{\partial s} = 0, & \quad T_1 = \theta_\Gamma, & \quad s = 0, \\ H_r \rightarrow v_{r1} \Big|_\Gamma, & \quad \frac{\partial H_r}{\partial s} \rightarrow 0, & \quad h_{\theta1} \rightarrow 0, & \quad T_1 \rightarrow 0, & \quad s \rightarrow -\infty, & \quad \tau = 2\alpha. \end{aligned} \quad (2.3)$$

Функция θ_Γ приводится к виду $\theta_\Gamma = 0,5\tau(r^2 - 1)$, параметр γ в краевых условиях определяется по формуле $\gamma = |\sigma_T| \rho^{-1} (T_S^2 \nu^{-4} L^{-4} g_t^{-3} \beta^{-3})^{1/5}$, в которой учитывается эффект Марангони. При $\gamma = 0$ термокапиллярный эффект не учитывается.

Заметим, что в отличие от уравнений пограничного слоя Прандтля для однородной жидкости система уравнений (2.2) содержит производные от функции давления q_1 по обеим пространственным координатам r, s . Это обусловлено влиянием поля температур на поле скоростей в неоднородной жидкости.

При решении краевой задачи для уравнений Обербека — Буссинеска функции внешнего решения $v_{r1}, v_{z1}, v_{\theta1}, p_0, p_1, T_{1b}$ будем искать с использованием первого итерационного процесса в методе пограничного слоя [6]. В результате определяем p_0 и находим, что вектор \mathbf{v}_1 с компонентами $v_{r1}, v_{z1}, v_{\theta1} = 0$, а также функции p_1, T_{1b} в разложениях (2.1) удовлетворяют системе уравнений (1.1) при $\varepsilon = 0$. Предположим, что радиальная компонента скорости внешнего течения на свободной границе в окрестности оси симметрии линейно зависит от радиальной координаты: $v_{r1}|_{\Gamma} = Ur$ ($U \geq 0$). Приведем асимптотическое значение поля скорости внешнего течения в окрестности свободной границы: $v_{r1} \sim Ur, v_{z1} \sim -2Uz, v_{\theta1} = 0$ при $|z| \leq h_1$ (h_1 — безразмерная толщина слоя жидкости; U — амплитуда скорости внешнего потока на свободной поверхности).

С учетом квадратичной зависимости температуры от радиальной координаты на свободной границе точное решение задачи (2.2), (2.3) построим в виде

$$\begin{aligned} H_r &= r(U - W'(\eta)), & H_z &= 2(\eta U - W), & h_{\theta 1} &= rG(\eta), \\ T_1 &= 0,5r^2T_{11}(\eta) + T_{12}(\eta), & q_1 &= -0,5r^2q_{11}(\eta) - q_{12}(\eta), & \eta &= -s. \end{aligned} \quad (2.4)$$

Формулы (2.4) определяют решение задачи только в окрестности оси симметрии, не распространяются на область вне этой окрестности, в частности, несправедливы в области $r > 1$, где решение можно продолжить численно.

Из (2.2), (2.3) для функций W, G, T_{11}, T_{12} выводим краевую задачу

$$\begin{aligned} W^{(4)} &= 2(W - \eta U)W''' + 2GG' + T_{11}, & G'' &= 2(W - \eta U)G' + 2(U - W')G, \\ T_{11}'' &= 2\text{Pr}((W - \eta U)T_{11}' + (U - W')T_{11}), & T_{12}'' &= 2\text{Pr}(W - \eta U)T_{12}', \\ W &= 0, & W'' &= -\gamma\tau, & G' &= 0, & T_{11} &= \tau, & T_{12} &= -0,5\tau \quad (\eta = 0), \\ W' &= W'' = G = T_{11} = T_{12} = 0 & & & & & & & & (\eta = +\infty). \end{aligned} \quad (2.5)$$

Используя (2.2), (2.4), выражаем функции q_{11}, q_{12} через T_{11}, T_{12} . Решив краевую задачу (2.5), функции q_{11}, q_{12} находим по формулам

$$q_{11} = \int_0^{\eta} T_{11} d\eta + \text{const}, \quad q_{12} = \int_0^{\eta} T_{12} d\eta + \text{const}.$$

В случае если в задаче (2.5) $U = 0$, имеем $v_{r1} = v_{z1} = v_{\theta1} = 0$. Вектор скорости внешнего течения имеет компоненты $v_{r2}, v_{z2}, v_{\theta2} = 0$, которые индуцируются пограничным слоем (функциями W, G, T_{11}, T_{12}), причем кинематическое условие для внешнего течения на поверхности Γ принимает вид $v_{z2}|_{\Gamma} = -2W(\infty)$.

3. Режимы течения жидкости в отсутствие вращения. Функции W, G, T_{11}, T_{12} , описывающие течение жидкости в пограничном слое, находятся численно путем решения задачи (2.5) методом пристрелки. Расчеты проводились для значения числа Прандтля $\text{Pr} = 7$. Введем параметр $V = U - W'(0)$, описывающий амплитуду радиальной компоненты скорости на свободной границе. На рис. 1 показана зависимость параметра V от амплитуды скорости внешнего потока U на границе Γ . Видно, что с увеличением скорости внешнего потока U монотонно увеличивается скорость жидкости на свободной границе. Наличие эффекта Марангони при $\tau < 0$ приводит к увеличению скорости жидкости на свободной поверхности Γ .

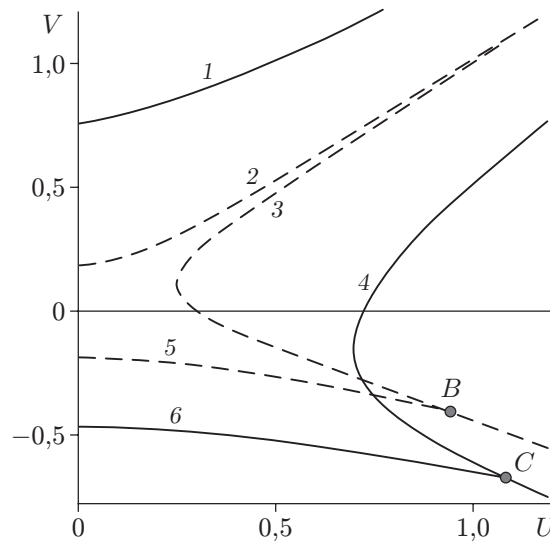


Рис. 1. Зависимость параметра V от амплитуды скорости внешнего потока U на свободной границе при различных значениях параметров γ , τ : сплошные линии — $\gamma = 1$, штриховые — $\gamma = 0$; 1–4 — режимы течения в отсутствие вращения ($G = 0$), 5, 6 — режимы течения с вращением ($G \neq 0$); 1, 2 — $\tau = -0,75$ (локальный нагрев), 3–6 — $\tau = 0,75$ (локальное охлаждение); B , C — точки бифуркации

При охлаждении свободной границы режимы течений жидкости в отсутствие вращения существуют только в случае, если амплитуда скорости внешнего потока U на поверхности Γ не меньше некоторого предельного значения U_m . Заметим, что при $\gamma = 1$ $U_m \approx 0,7029$, при $\gamma = 0$ $U_m \approx 0,2489$. При наличии эффекта Марангони параметр U_m увеличивается. Параметру U_m соответствуют крайние левые точки (“вершины”) кривых 3, 4. При $U > U_m$ каждому значению параметра U соответствуют два решения для режима течения в отсутствие вращения, различающиеся формой профиля скорости. При $U = U_m$ эти решения совпадают, при $U < U_m$ — исчезают. Анализ профилей скорости в пограничном слое показывает, что при $V < 0$ область течения разбивается на зону, в которой жидкие частицы удаляются от оси симметрии ($v_r > 0$), и зону, в которой они приближаются к оси симметрии ($v_r < 0$). Зона $v_r < 0$, примыкающая к свободной границе, значительно уже зоны $v_r > 0$. При $V > 0$, $\tau > 0$ область пограничного слоя состоит только из зоны $v_r > 0$. В этом случае вследствие наличия эффекта Марангони уменьшается радиальная компонента скорости жидкости на поверхности Γ . При $V < 0$ эффект Марангони оказывает неоднозначное влияние на эту компоненту. Для одних значений параметра U модуль этой компоненты на поверхности Γ может увеличиваться с ростом параметра γ , для других U — уменьшаться (при малых значениях параметра $|V|$).

Обозначим через $V_r = U - W'(\eta)$ амплитуду радиальной компоненты скорости в главном приближении внутри области пограничного слоя D_Γ . Результаты расчетов показывают, что при нагреве свободной границы компонента скорости V_r для режимов течения жидкости в отсутствие вращения монотонно уменьшается при удалении от свободной границы, а при охлаждении — монотонно возрастает. При выходе из области D_Γ амплитуда V_r стремится к предельному значению, равному U .

4. Бифуркации. Режимы течения жидкости с вращением. При локальном охлаждении свободной границы в случае $U < U_m$ режимы течения жидкости в отсутствие вращения ($G = 0$) в пограничном слое отсутствуют, и краевая задача (2.5) имеет решения, описывающие режимы течения с вращением при $G \neq 0$, которые появляются в результате

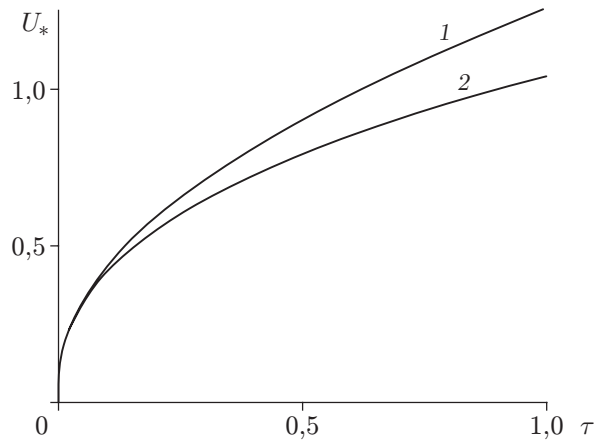


Рис. 2. Зависимость бифуркационных значений параметра U от параметра τ при различных значениях параметра γ :
 1 — $\gamma = 1$, 2 — $\gamma = 0$

бифуркации режимов течения в отсутствие вращения. Точки бифуркации определяются при численном решении краевой задачи на собственные значения, которая получается путем линеаризации задачи (2.5) вблизи решения, описывающего режимы течения в отсутствие вращения. Обозначая через W_c , G_c , T_{c1} , T_{c2} собственные функции, краевую задачу для определения этих функций и собственных значений представим в виде

$$\begin{aligned} W_c^{(4)} &= 2W'''W_c + 2(W - \eta U)W_c''' + T_{c1}, & G_c'' &= 2(W - \eta U)G_c' - 2(W' - U)G_c, \\ T_{c1}'' &= 2\text{Pr}(W_c T_{c1}' - W_c' T_{c1} + (W - \eta U)T_{c1}' - (W' - U)T_{c1}), \\ T_{c2}'' &= 2\text{Pr}(W_c T_{c2}' + (W - \eta U)T_{c2}'), \end{aligned} \quad (4.1)$$

$$W_c = W_c'' = T_{c1} = T_{c2} = G_c' = 0 \quad (\eta = 0), \quad W_c' = W_c'' = T_{c1} = T_{c2} = G_c = 0 \quad (\eta = +\infty).$$

Задача на собственные значения (4.1) решается численно. Параметры U , τ , γ изменялись в ограниченной области

$$M = \{(U, \tau, \gamma); \quad U \in [0, 2], \quad \tau \in [-1, 1], \quad \gamma \in [0, 1]\}.$$

При локальном нагреве свободной границы ($\tau < 0$) собственных значений не обнаружено. В случае охлаждения границы ($\tau > 0$) рассчитана ветвь простых собственных значений $U_*(\gamma, \tau)$ параметра U в области M . Собственные функции находим в виде $G_c = c_g G_*(\eta)$, $W_c = T_{c1} = T_{c2} = 0$ (c_g — произвольная постоянная, не равная нулю). Функция $G_*(\eta)$ удовлетворяет условию нормировки $G_*(0) = 1$, монотонно убывает с увеличением переменной η и стремится к нулю при $\eta \rightarrow +\infty$. На рис. 2 приведена зависимость бифуркационных значений параметра U_* от параметра τ . Результаты численных расчетов показывают, что при наличии термокапиллярного эффекта бифуркационное значение параметра U увеличивается как с увеличением параметра τ при фиксированном значении γ , так и с увеличением параметра γ при фиксированном значении τ . С ростом параметра γ влияние эффекта Марангони усиливается.

Решения, описывающие режимы течения с вращением, ответвляются от решений, описывающих режимы течения в отсутствие вращения, в точках бифуркации B и C (см. рис. 1). Для каждой точки, принадлежащей кривым 5, 6, рассчитано по два режима, которые различаются только направлением вращения.

На рис. 3 для точек свободной границы приведена зависимость амплитуды окружной компоненты скорости для режимов течения с вращением $G_0 = G(0)$ от скорости внешнего

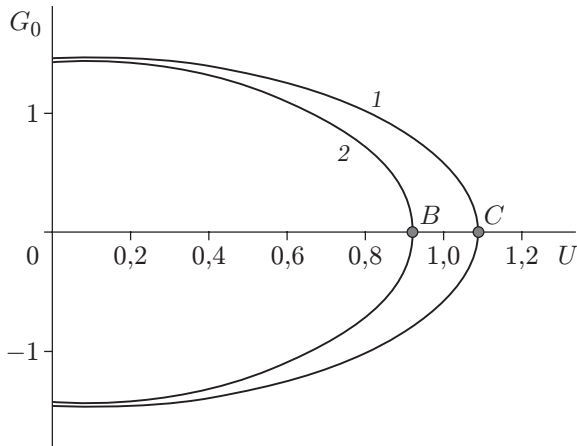


Рис. 3

Рис. 3. Зависимость амплитуды окружной компоненты скорости G_0 от скорости внешнего потока U на свободной границе для режимов течения жидкости с вращением при $\tau = 0,75$ и различных значениях γ :

1 — $\gamma = 1$, 2 — $\gamma = 0$; B, C — точки бифуркации

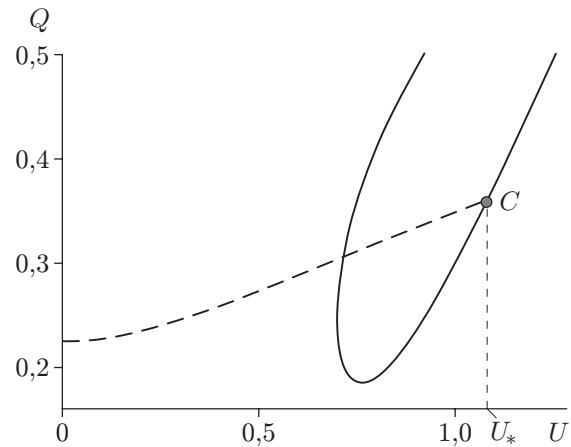


Рис. 4

Рис. 4. Зависимость $Q(U)$ на свободной поверхности при $\gamma = 1$, $\tau = 0,75$, $r = 0,5$: сплошная линия — режим течения в отсутствие вращения, штриховая — режим течения с вращением; C — точка бифуркации

потока U при $\tau = 0,75$. Вследствие наличия термокапиллярного эффекта увеличивается окружная компонента скорости на свободной границе. При $U < U_*$ рассчитано по два режима с симметричными значениями $\pm|G_0|$ на свободной границе.

При решении краевой задачи (2.5) вычислялся также тепловой поток на свободной границе, причем для расчета нормальной к границе компоненты потока использовалась формула $q_z = -\lambda \partial T / \partial z|_{\Gamma}$, преобразованная к виду $q_z = q_* Q(r, U, \tau, \gamma)$ ($q_* = \lambda T_S L^{-1} \varepsilon^{-2/5}$ — размерный параметр, содержащий теплопроводность λ ; $Q = 0,5r^2 T'_{11}(0) + T'_{12}(0)$ — безразмерная функция). Результаты расчетов приведены на рис. 4. Видно, что в случае режимов течения с вращением тепловой поток монотонно увеличивается с ростом параметра U на промежутке $[0, U_*]$.

5. Асимптотика режимов течения жидкости с вращением в окрестности точки бифуркации. Введем параметр δ по формуле $\delta = U - U_*$, где U, U_* — соответственно текущее и бифуркационное значения параметра U . Очевидно, что в малой окрестности точки бифуркации при $U \rightarrow U_*$ параметр δ является малым. Обозначим через W_*, T_{*1}, T_{*2} режим течения жидкости в точке бифуркации. Введем параметр ε_* по формуле $\varepsilon_* = G(\eta, U, \tau, \gamma)|_{\eta=0}$, где $G(0, U, \tau, \gamma)$ — амплитуда окружной компоненты скорости для режима течения с вращением на границе Γ . Заметим, что параметр $\varepsilon_*(U, \tau, \gamma)$ обращается в нуль при $U = U_*$. В малой окрестности точки бифуркации при $U \rightarrow U_*$ параметр ε_* является малым. Режимы течения с вращением в окрестности точки бифуркации представим в виде

$$W = W_* + \Psi, \quad G = \varepsilon_* g, \quad T_{11} = T_{*1} + t_1, \quad T_{12} = T_{*2} + t_2.$$

Из соотношения $\varepsilon_* = G(0, U, \tau, \gamma)$ следует краевое условие $g(0) = 1$.

С учетом (2.5) для определения функций Ψ, g, t_1, t_2 получаем краевую задачу

$$L\Psi = t_1 - 2\delta\eta(\Psi''' + W_*''') + 2\varepsilon_*^2 g g' + 2\Psi\Psi''', \\ Nt_1 = 2\text{Pr}(\Psi T'_{*1} - \Psi' T_{*1} + \Psi t_1' - \Psi' t_1 + \delta(T_{*1} - \eta T'_{*1} + t_1 - \eta t_1')),$$

$$\begin{aligned} t_2'' &= 2 \operatorname{Pr}((W_* - \eta U_*)t_2' + \Psi t_2' + \Psi T_{*2}' - \delta \eta(t_2' + T_{*2}')), \\ K g &= 2 \Psi g' - 2 \Psi' g + 2 \delta(g - \eta g'), \end{aligned} \quad (5.1)$$

$$\begin{aligned} \Psi &= 0, & \Psi'' &= 0, & g' &= 0, & t_1 &= 0, & t_2 &= 0 & (\eta = 0), \\ \Psi' &= 0, & \Psi'' &= 0, & g &= 0, & t_1 &= 0, & t_2 &= 0 & (\eta = +\infty), \end{aligned}$$

где L, K, N — линейные операторы:

$$L = D^4 - 2(W_* - \eta U_*)D^3 - 2W_*'''E,$$

$$K = D^2 - 2(W_* - \eta U_*)D + 2(W_*' - U_*)E, \quad N = D^2 - 2 \operatorname{Pr}((W_* - \eta U_*)D - (W_*' - U_*)E),$$

$D = d/d\eta$ — оператор дифференцирования; E — единичный оператор.

Решения краевой задачи (5.1) построим в виде асимптотических рядов по степеням параметра δ :

$$\begin{aligned} \Psi &= \delta \Psi_1 + \delta^2 \Psi_2 + \dots & (\delta \rightarrow 0), \\ t_1 &= \delta t_{11} + \delta^2 t_{12} + \dots, & t_2 &= \delta t_{21} + \delta^2 t_{22} + \dots, & g &= G_* + \delta G_1 + \dots \end{aligned} \quad (5.2)$$

Свойства функции G_* приведены выше. Из условий $G_*(0) = 1, g(0) = 1$ для функции G_1 в (5.2) выводим краевое условие $G_1(0) = 0$.

Из соотношения $U = \delta + U_*$ следует, что параметр $\varepsilon_*(U, \tau, \gamma)$ зависит от параметра δ . Параметр ε_* определяется при решении краевой задачи (5.1) с учетом дополнительного краевого условия $g(0) = 1$. Поскольку в задачу (5.1) параметр ε_* входит только в виде квадратичной функции ε_*^2 , будем полагать, что параметр ε_*^2 , как и функции Ψ, t_1, t_2, g , можно представить в виде асимптотического ряда по степеням параметра δ :

$$\varepsilon_*^2 = \delta B_1 + \delta^2 B_2 + \dots \quad (\delta \rightarrow 0). \quad (5.3)$$

Для определения коэффициентов асимптотических разложений (5.2), (5.3) подставляем эти разложения в краевую задачу (5.1) и приравниваем к нулю суммы коэффициентов при последовательных степенях параметра δ . Краевая задача для главных членов асимптотических рядов (5.2) имеет вид

$$\begin{aligned} L \Psi_1 &= t_{11} + 2B_1 G_*' G_*' - 2\eta W_*''', & N t_{11} &= 2 \operatorname{Pr}(\Psi_1 T_{*1}' - \Psi_1' T_{*1} + T_{*1} - \eta T_{*1}'), \\ \Psi_1 &= 0, & \Psi_1'' &= 0, & t_{11} &= 0 & (\eta = 0), & \Psi_1' &= 0, & \Psi_1'' &= 0, & t_{11} &= 0 & (\eta = +\infty). \end{aligned} \quad (5.4)$$

Функция t_{12} находится путем решения линейной краевой задачи после интегрирования задачи (5.4).

Задача (5.4) содержит неизвестный параметр B_1 , поэтому функции Ψ_1, t_{11} при интегрировании (5.4) можно представить в виде $\Psi_1 = \Psi_{b1} + B_1 \Psi_{b2}, t_{11} = t_{b1} + B_1 t_{b2}$. Краевые задачи для функций $\Psi_{b1}, t_{b1}, \Psi_{b2}, t_{b2}$ не содержат параметр B_1 и решаются численно. Параметр B_1 и функция G_1 находятся при решении линейной краевой задачи

$$\begin{aligned} K G_1 &= 2(\Psi_{b1} G_*' - \Psi_{b1}' G_* + G_* - \eta G_*') + 2B_1(\Psi_{b2} G_*' - \Psi_{b2}' G_*), \\ G_1'(0) &= 0, & G_1(+\infty) &= 0. \end{aligned} \quad (5.5)$$

Задача (5.5) с учетом дополнительного условия $G_1(0) = 0$ решена численно, при этом параметры γ, τ изменялись на промежутке $[0, 1]$. На рис. 5 приведена зависимость параметра B_1 от параметра γ при $\tau = 1$. Установлено, что при $\tau \in [0, 1]$ параметр B_1 является отрицательным. В случае отсутствия термокапиллярного эффекта ($\gamma = 0$) параметр B_1 принимает значения $B_1 \approx -4,7265\tau^{2/5}$.

Из формулы (5.3) получаем соотношение

$$\varepsilon_* = \pm \sqrt{\delta B_1} + O(\delta) \quad (\delta \rightarrow 0),$$

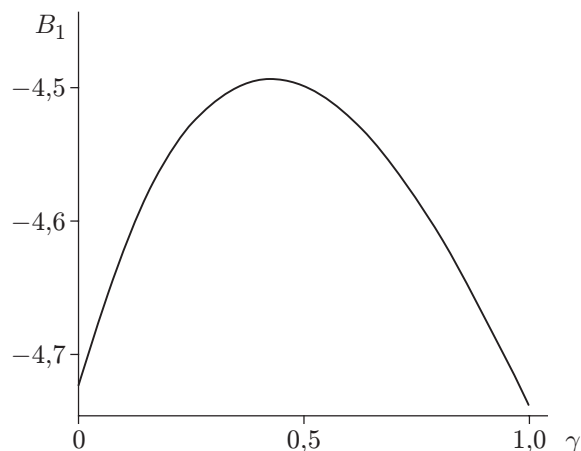


Рис. 5. Зависимость параметра B_1 от параметра γ при $\tau = 1$

из которого следует, что в точке бифуркации от решений, описывающих режим течения в отсутствие вращения в пограничном слое, могут ответвляться решения, описывающие два режима течения с вращением, различающиеся только направлением вращения. Эти режимы возникают при $U < U_*$.

Заключение. В работе исследовано возникновение вращения неоднородной жидкости в пограничном слое вблизи свободной границы при условии, что эта граница локально неравномерно охлаждается в окрестности оси симметрии. Рассчитано влияние термокапиллярного эффекта на режимы течения жидкости при наличии вращения и в его отсутствие. В частности, показано, что при наличии эффекта Марангони усиливается вращение в пограничном слое, вне которого вращение отсутствует. Вращение жидкости возникает при бифуркации режимов течения в отсутствие вращения. Наличие эффекта Марангони приводит к увеличению бифуркационных значений скорости внешнего потока.

ЛИТЕРАТУРА

1. **Napolitano L. G.** Marangoni boundary layers // Proc. of the 3rd Europ. symp. on material science in space, Grenoble (France), 24–27 Apr. 1979. P.: Europ. Space Agency, 1979. P. 313–315.
2. **Пухначев В. В.** Групповой анализ уравнений нестационарного пограничного слоя Марангони // Докл. АН СССР. 1984. Т. 279, № 5. С. 1061–1064.
3. **Batishchev V. A., Kuznetsov V. V., Pukhnachev V. V.** Marangoni boundary layers // Progr. Aerospace Sci. 1984. V. 26. P. 353–370.
4. **Батищев В. А., Хорощунова Е. В.** Возникновение вращательных режимов при термокапиллярном течении неоднородной жидкости в слое // Прикл. математика и механика. 2000. Т. 64, вып. 5. С. 560–568.
5. **Изаксон В. Х., Юдович В. И.** О возникновении конвекции в слое жидкости со свободной границей // Изв. АН СССР. Механика жидкости и газа. 1968. № 4. С. 23–28.
6. **Вишик М. А., Люстерник Л. А.** Регулярное вырождение и пограничный слой для линейных дифференциальных уравнений с малым параметром // Успехи мат. наук. 1957. Т. 12, № 5. С. 3–102.

*Поступила в редакцию 17/IX 2019 г.,
после доработки — 29/XI 2019 г.
Принята к публикации 23/XII 2019 г.*